

СТРУКТУРА НАМАГНИЧЕННОСТИ ЛЕГКОПЛОСКОСТНЫХ ФЕРРОМАГНЕТИКОВ В НЕОДНОРОДНЫХ МАГНИТНЫХ ПОЛЯХ

Бутрим В. И., кандидат физико-математических наук, Михерский Р. М., аспирант,
Вишневский В. Г., кандидат технических наук, доцент,
Дубинко С. В., кандидат физико-математических наук, доцент

Задачи о магнитостатических взаимодействиях в двухслойных системах приобрели актуальность в связи с совершенствованием магнитооптических (МО) устройств для ввода информации с гибких подвижных магнитных носителей (МН) в оптические процессоры и для визуализации магнитных полей сложной топологии. Как правило, в таких устройствах применялись МО среды с бинарной доменной структурой - эпитаксиальные пленки феррит-гранатов (ЭПФГ) с перпендикулярной анизотропией. Теория вынужденной доменной структуры, возникающей под воздействием неоднородного поля МН, отражена, например, в [1]. Однако невозможность прямого аналогового отображения информации и ограничения динамического диапазона МО преобразования при использовании указанных ЭПФГ стимулировали поиск материалов, модуляция намагниченности в которых осуществлялась бы не смещением доменных границ, а вращением вектора магнитного момента. Об опыте использования аналоговых МО сред сообщалось в [2]. Целью теоретического анализа настоящей работы является оценка соответствия локальной структуры намагниченности в монодоменном слое ЭПФГ форме неоднородного внешнего поля при условии варьирования его амплитудно-частотных характеристик.

Изучается модель ферромагнетика (ФМ) с анизотропной плоскостью легкого намагничивания, которая достаточно адекватно описывает ЭПФГ, выращенные на подложках с ориентацией, близкой к [111]. Такие пленки обладают анизотропией «легкая плоскость» со слабо выраженной кубической кристаллографической анизотропией. Однако даже незначительная разориентация подложки от плоскости [111] приводит к появлению значительной (в сравнении с кубической) компоненты орторомбической кристаллографической анизотропии.

Рассмотрим ФМ в форме плоскопараллельной пластины, развитая поверхность ХОY которой совпадает с анизотропной плоскостью легкого намагничивания. ФМ, основное состояние которого монодоменное, помещен в пространственно периодическое магнитное поле вида

$$H_x = H_0 \cos \frac{2\pi x}{d}, \quad H_z = H_0 \sin \frac{2\pi x}{d}, \quad H_y = 0, \quad (1)$$

так, что ось легкого намагничивания (ОЛН) в легкой плоскости перпендикулярна направлению модуляции поля x (d - период поля). Далее считаем, что амплитуда внешнего поля H_0 мала в сравнении с полем нормализации образца, но сравнима с полем одноосной анизотропии в «легкой плоскости» H_A . Это означает, что вектор плотности магнитного момента \vec{M} не «выходит» из плоскости ХОY и z-компоненты намагниченности равна нулю. Предполагая также, что

намагниченность, равно как и внешнее поле, модулирована вдоль x , воспользуемся винтеровским приближением для размагничивающего поля: $H_x^m = -4\pi M_x$.

Варьируемая часть плотности энергии изучаемой системы, записанная через угол φ полярной системы координат с полярной осью направленной вдоль x , имеет вид

$$w = \frac{\alpha}{2}(\nabla\varphi)^2 + \frac{1}{2}(\rho + 4\pi)\sin^2\varphi - \frac{H_0}{M_s}\cos\varphi\cos\frac{2\pi x}{d}, \quad (2)$$

где α - константа неоднородного обмена, $\rho > 0$ - константа одноосной анизотропии в плоскости легкого намагничивания, M_s - намагниченность насыщения.

Равновесное состояние системы с энергией (3) определяется уравнением Эйлера

$$\frac{\delta w}{\delta\varphi} = 0. \quad (3)$$

В результате варьирования получим следующее уравнение для угла φ

$$\frac{\partial^2\varphi}{\partial\xi^2} + \sin\varphi \left[\cos\varphi - B\cos\frac{2\pi\xi}{N} \right] = 0, \quad (4)$$

где введены следующие обозначения

$$\xi = \frac{x}{x_0}, \quad x_0 = \frac{\alpha}{\rho + 4\pi}, \quad B = \frac{H_0}{M_s(\rho + 4\pi)}, \quad N = \frac{d}{x_0}. \quad (5)$$

Величина B представляет собой безразмерную амплитуду поля, N - приведенный период.

Границные условия выбирались таким образом, чтобы в точках нулевого поля намагниченность была направлена вдоль ОЛН

$$\cos\varphi(\xi_0) = 0 \quad \text{при} \quad \xi_0 = \frac{N}{4}n, \quad n = \pm 1, 3, \dots \quad (6)$$

Решение поставленной задачи осуществлялось численными методами. На первом этапе краевая задача сводилась к задаче Коши, которая затем интегрировалась методом Рунге-Кутта.

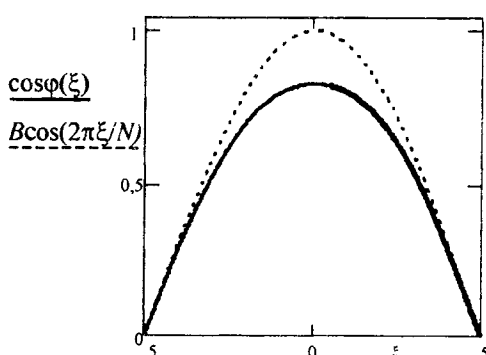


Рис. 1. Координатная зависимость внешнего поля и x -компоненты намагниченности при $B=2$ и $N=20$

Вид полученных решений существенно зависит от параметров поля N и B . Так, при $B < 1$, уравнение (4) имеет решения, описывающие пространственные колебания \vec{M} около направления ОЛН, так что x -компоненты намагниченности $M_x(\xi)/M_s = \cos\varphi(\xi)$ практически повторяет форму внешнего поля (рис.1), т.е. имеет вид

$$\cos\varphi(\xi) \approx A \cos\frac{2\pi\xi}{N}, \quad (7)$$

причем амплитуда решения $A = \cos \varphi(0)$ зависит от амплитуды внешнего поля B и его периода N .

При конечных N амплитуда колебаний \bar{M} не превосходит B . С ростом периода $A \rightarrow B$. Так, при $B=1$ амплитуды A и B сравниваются уже при $N \geq 80$ (рис. 2). Зависимость амплитуды колебаний A от амплитуды внешнего поля B при фиксированном N представлена на рис.3.

При $B > 1$ форма решений меняется. На зависимости $\cos \varphi(\xi)$ появляется «полочка», соответствующая области насыщения, в пределах которой величина внешнего поля больше некоторого поля насыщения $H_S(B, N) > H_A$ и меньше амплитудного (рис. 4). При конечных N величина поля H_S , при которой вектор \bar{M} коллинеарен полю, всегда больше H_A . Так, при $B=2$ и $N=20$ (рис. 4) $H_S \approx 1,9 H_A$. В пределе больших периодов H_S снижается и стремится к H_A .

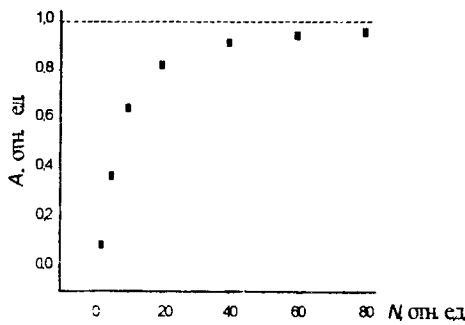


Рис. 2. Амплитуда колебаний \bar{M} как функция N при $B = 1$

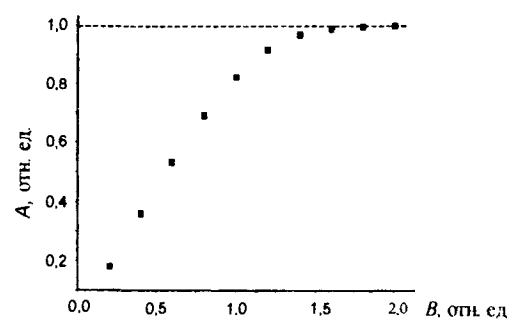


Рис. 3. Амплитуда колебаний \bar{M} как функция B при $N=20$

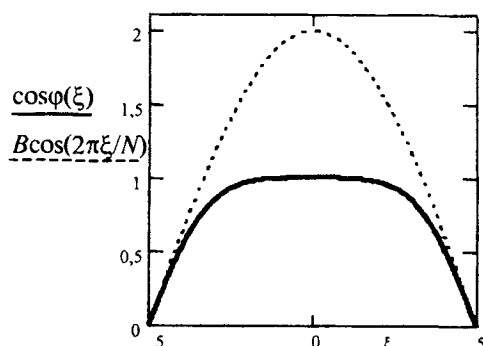


Рис. 4. Координатная зависимость внешнего поля и x-компоненты намагниченности при $B = 2$ и $N=20$

Степень соответствия распределения индуцированной намагниченности форме поля может быть оценена путем разложения в ряд функции $M_x(\xi)/M_S$. Но даже не прибегая к методам Фурье-анализа, можно констатировать, что для решений, аппроксимирующих косинусоидальной зависимостью (7), степень искажений снижается с ростом N и с уменьшением амплитуды поля B .

Литература

1. Huijer E., Lehureau J.-C., Castera J.-P. Analysis of medium-garnet interaction in a parallel high-density magneto-optic read head // IEEE Trans. Magn. - 1987. - Vol. MAG-23, N 3. - P. 1919-1922.
2. Garnet films for optical processing / Vishnevski V., Dubinko S., Nedviga A. et al. // Int. Conf. on Ferrites ICF7, Bordeaux'96, France: Abstr. - Bordeaux, 1996. P. 439.